

## ЛИТЕРАТУРА

1. Жигулев В. Н. Проблема определения критических чисел Рейнольдса перехода ламинарного пограничного слоя в турбулентный. — В кн.: Механика неоднородных сред. Новосибирск: изд. ИТПМ СО АН СССР, 1981.
2. Качанов Ю. С., Козлов В. В., Левченко В. Я., Максимов В. П. Преобразование внешних возмущений в волны пограничного слоя. — Численные методы механики сплошной среды, 1978, т. 9, № 2.
3. Довгаль А. В., Козлов В. В., Левченко В. Я. Экспериментальное исследование реакции пограничного слоя на внешние периодические возмущения. — Изв. АН СССР. МЖГ, 1980, № 4.
4. Айзин Л. Б., Поляков Н. Ф. Генерация волны Толлмина — Шлихтинга звуком на отдельной неровности поверхности, обтекаемой потоком. — Препринт № 17. Новосибирск: изд. ИТПМ СО АН СССР, 1979.
5. Fasel H. Reaktion von zweidimensional laminaren, inkompressiblen Grenzschichten auf periodische Störungen in der Aussenströmung. — ZAMM, 1977, Bd 57, H. 5.
6. Максимов В. П. Возникновение волн Толлмина — Шлихтинга в осциллирующих пограничных слоях. — В кн.: Развитие возмущений в пограничном слое. Новосибирск: изд. ИТПМ СО АН СССР, 1979.
7. Качанов Ю. С., Козлов В. В., Левченко В. Я. Возникновение турбулентности в пограничном слое. Новосибирск: Наука, 1982.
8. Жигулев В. Н., Сидоренко Н. В., Тумин А. М. О генерации волн неустойчивости в пограничном слое внешней турбулентностью. — ПМТФ, 1980, № 6.
9. Salwen H., Grosh C. E. The continuous spectrum of the Orr — Sommerfeld equation. Pt 2. Eigenfunction expansions. — J. Fluid Mech., 1981, vol. 104, pt 1.
10. Сидоренко Н. В., Тумин А. М. Гидродинамическая устойчивость течений в пограничном слое сжимаемого газа. — В кн.: Механика неоднородных сред. Новосибирск: изд. ИТПМ СО АН СССР, 1981.
11. Тумин А. М., Шепелев В. Е. Численный анализ развития возмущений в несжимаемом пограничном слое на плоской пластине. — Численные методы механики сплошной среды, 1980, т. 11, № 3.
12. Евграфов М. А. Асимптотические оценки и целые функции. М.: Физматгиз, 1962.
13. Гапонов С. А., Маслов А. А. Развитие возмущений в сжимаемых потоках. Новосибирск: Наука, 1980.
14. Терентьев Е. Д. Расчет давления в линейной задаче о вибраторе в сверхзвуковом пограничном слое. — ПММ, 1979, т. 43, вып. 6.

УДК 534.2 : 532, 532 : 526

### ВОЗБУЖДЕНИЕ ВОЛН ТОЛЛМИНА — ШЛИХТИНГА ПРИ РАССЕЯНИИ АКУСТИЧЕСКИХ И ВИХРЕВЫХ ВОЗМУЩЕНИЙ В ПОГРАНИЧНОМ СЛОЕ НА ВОЛНИСТОЙ ПОВЕРХНОСТИ

*Н. А. Завольский, В. П. Реутов, Г. В. Рыбушкина*

(Горький)

Как известно, возбуждение волн Толлмина — Шлихтинга акустическими и вихревыми полями может существенно влиять на переход к турбулентному течению в пограничном слое. Большое число работ посвящено исследованию процесса возбуждения волн Толлмина — Шлихтинга (ТШ-волн) в пограничном слое на пластине с гладкой поверхностью (см. [1, 2]). Лабораторные и численные эксперименты показали, что волны пограничного слоя возникают в окрестности передней кромки пластины [1, 3, 4]. Появление ТШ-волн можно рассматривать как результат рассеяния внешнего поля на сосредоточенной неоднородности — передней кромке пластины. Распределенное возбуждение на самой пластине не было обнаружено [3]. Причина состоит в том, что распределенное возбуждение на гладкой пластине может быть вызвано только линейным взаимодействием внешних возмущений с волнами пограничного слоя, которое неэффективно ввиду большого различия фазовых скоростей.

Ниже исследуется возбуждение ТШ-волн при рассеянии акустических и вихревых возмущений в пограничном слое на поверхности с распределенной волнистостью, характерный масштаб которой в направлении течения меньше или порядка длины ТШ-волны. Суть процесса рассеяния сводится к комбинационному сложению гармоник пространственного спектра неоднородности с гармониками внешнего поля. При этом в объеме пограничного слоя и на поверхности пластины возникают комбинационные «силы», которые могут быть в резонансе с индуцированной волной, несмотря на отсутствие резонанса этой волны с внешним полем. В случае распределенной неоднородности происходит пространственное накопление эффекта рассеяния (распределенная генерация). Интерес к данному механизму вызван рядом причин. Во-первых, после возникновения волны на передней кромке пластины она успевает сильно затухнуть на

пассивном участке пограничного слоя [4]. При рассеянии на распределенной неоднородности возмущения вносятся непосредственно в активную область пограничного слоя, что создает преимущества в смысле эффективности возбуждения. Во-вторых, генерация вблизи передней кромки отсутствует при наложении продольного акустического поля или вихревых возмущений, локализованных за пределами пограничного слоя [1]. Распределенный механизм не обладает такой «чувствительностью» к виду возмущения. Именно для этих двух типов внешних возмущений ниже оценивается эффективность рассеяния. Расчеты приводятся для одномерной синусоидальной и случайной волнистости.

1. Рассмотрим пограничный слой Блазиуса на поверхности с малой волнистостью, которая описывается однозначной функцией  $y = \eta(x, z)$ . Воспользуемся квазипараллельной моделью в пограничном слое, представляя поле скорости в виде  $\mathbf{v} = U(y/\delta_*)\mathbf{i} + \mathbf{v}_\sim$ , где  $U$  — профиль скорости в пограничном слое на плоской поверхности  $y = 0$ ;  $\delta_*(x)$  — толщина вытеснения;  $\mathbf{v}_\sim$  — возмущение первичного течения. Используя разложение в ряд по малому  $\eta$ , граничное условие  $v = 0|_{y=\eta}$  можно свести к следующим соотношениям на плоскости  $y = 0$ :

$$(1.1) \quad v + \frac{\partial v}{\partial y} \eta + \dots = 0, \quad u + \frac{\partial U}{\partial y} \eta + \frac{\partial u}{\partial y} \eta + \dots = 0, \\ w + \frac{\partial w}{\partial y} \eta + \dots = 0 \quad \text{при } y = 0,$$

где  $u, v, w$  — компоненты  $\mathbf{v}_\sim$  по осям  $x, y, z$  соответственно. Граничные условия в виде (1.1) позволяют учесть неоднородность как внешнюю «силу» в рамках модели пограничного слоя на плоской поверхности.

Вызванные волнистостью возмущения скорости  $\mathbf{v}_i$  и давления  $p_i$  представим в виде разложений по степеням  $\eta$ . Полные возмущения скорости и давления будем искать в виде разложений по кратности рассеяния [5]:

$$\mathbf{v}_\sim = \mathbf{v}_i + \mathbf{v}^{(0)} + \mathbf{v}^{(1)} + \dots, \quad p_\sim = p_i + p^{(0)} + p^{(1)} + \dots,$$

где  $\mathbf{v}^{(0)}, p^{(0)}$  — поле в пограничном слое на гладкой поверхности;  $\mathbf{v}^{(n)}, p^{(n)}$  ( $n = 1, 2, \dots$ ) — составляющие рассеянного поля  $\sim \eta^n$ . Далее ограничимся анализом однократного рассеяния, когда основной вклад в рассеянное поле дают  $\mathbf{v}^{(1)}$  и  $p^{(1)}$ . Границы применимости приближения однократного рассеяния будут определены в п. 3. Зададим акустические и вихревые возмущения в виде синусоидальных волн  $\sim \text{Re} [\exp(ik_\omega x - i\omega t)]$  ( $\omega$  и  $k_\omega$  — частота и волновое число соответственно). Взаимодействуя с гармониками распределенной неоднородности  $\sim \exp(ik_x x + ik_z z)$ , они порождают волны пограничного слоя  $\sim \exp(i\alpha x + ik_z z - i\omega t)$  ( $\alpha$  — волновое число трехмерной ТШ-волны ( $\omega, k_z$ )). Наиболее эффективно рассеивают гармоники неоднородности, удовлетворяющие условию резонанса

$$(1.2) \quad k_x = \text{Re } \alpha - k_\omega.$$

Если спектр неоднородности непрерывен и двумерен, условие (1.2) может выполняться в широком диапазоне значений  $k_z$ . Из (1.2) следует, что рассеяние звука в дозвуковом пограничном слое происходит на компонентах спектра неоднородности  $k_x \approx \text{Re } \alpha$ .

Обозначим через  $x_c = x_c(\omega, k_z)$  нейтральную точку индуцированной волны. В области  $x < x_c$  генерируемые возмущения затухают и поэтому не способны конкурировать с порожденными при  $x \approx x_c$ . Те же возмущения, которые рождаются в области неустойчивости, уступают нейтральным в длине пути усиления. Отсюда следует, что область пограничного слоя, прилегающая к нейтральной точке, наиболее чувствительна к распределенному воздействию.

2. Рассмотрим рассеяние звука на одномерной волнистости  $\eta = \eta(x)$ , приводящее к возбуждению двумерных ТШ-волн. В качестве исходных воспользуемся уравнениями баротропной вязкой жидкости. Поле скоростей, возникающее при обтекании волнистости, будем описывать функцией тока  $\psi(x, y) = \psi^{(1)} + \psi^{(2)} + \dots + \psi^{(n)}$  ( $n = 1, 2, \dots$ ) — составляющие

$\sim \eta^n$ ). Пренебрегая зависимостью  $\delta_*$  от  $x$  и переходя к спектральному представлению по формуле

$$\hat{\psi} = \int_{-\infty}^{\infty} \psi(x, y) e^{-ikx} dx,$$

получим для  $\bar{\psi} = -\hat{\psi}^{(1)}/\hat{\eta}(\partial U/\partial y)_0$  ( $\hat{\eta}(k)$  — спектр  $\eta(x)$ ) уравнение вида

$$(2.1) \quad \bar{u}(y_N) (\bar{\psi}' - k_N^2 \bar{\psi}) - \bar{u}'' \bar{\psi} + \frac{i}{k_N R} (\bar{\psi}^{IV} - 2k_N^2 \bar{\psi}'' + k_N^4 \bar{\psi}) = 0,$$

где  $R = u_\infty \delta_*/\nu$  — локальное число Рейнольдса ( $u_\infty$  — скорость набегающего потока,  $\nu$  — кинематическая вязкость);  $\bar{u} = U/u_\infty$ ;  $y_N = y/\delta_*$ ;  $k_N = k\delta_*$  (здесь и далее индексом  $N$  обозначены переменные, нормированные через толщину вытеснения, а штрихами — производные по  $y_N$ ). Переменная  $\bar{\psi}$  не зависит от  $\eta$ , так как из (1.1) следуют граничные условия  $\bar{\psi} = 0$ ,  $\bar{\psi}' = 1|_{y_N=0}$ ; при  $y_N \rightarrow \infty$ , как обычно, накладывается условие  $\bar{\psi} \rightarrow 0$ . Уравнение (2.1) является частным случаем уравнения Орра — Зоммерфельда, хорошо известного в теории гидродинамической неустойчивости [6]. В данном случае это уравнение порождает неоднородную краевую задачу для профиля возмущения, фазовая скорость которого равна нулю.

Акустическое поле зададим в виде главной моды плоского волновода, одна из стенок которого является обтекаемой поверхностью, а другая — вынесена далеко за пределы пограничного слоя. Пренебрегая движением жидкости и затуханием звука на длине генерации волны, напишем акустическое поле в виде

$$(2.2) \quad (u, v, p) = \frac{1}{2} s(e_1, e_2, e_3) e^{ik_\omega x - i\omega t} + \text{к. с.},$$

где  $e_1 = 1 - \exp(\beta y)$ ;  $e_2 = -(ik_\omega/\beta)[1 - \exp(\beta y)]$ ;  $e_3 = \pm c/\rho$  ( $\rho$  — плотность среды);  $k_\omega = \pm \omega/c$ ;  $c$  — скорость звука, знаки  $\pm$  относятся к волнам, распространяющимся вниз и вверх по потоку соответственно;  $\beta = (i - 1)\sqrt{\omega/2\nu}$ . Толщина вязкого пристеночного слоя в акустическом поле  $l_w = \sqrt{2\nu/\omega}$  при возбуждении ГШ-волн обычно удовлетворяет соотношению  $l_w \ll \delta_*$ .

Уравнения для рассеянного поля принимают вид

$$(2.3) \quad \frac{\partial u^{(1)}}{\partial t} + U \frac{\partial u^{(1)}}{\partial x} + \frac{\partial U}{\partial y} v^{(1)} + \frac{1}{\rho} \frac{\partial p^{(1)}}{\partial x} + \nu \left( \frac{\partial^2 u^{(1)}}{\partial x^2} + \frac{\partial^2 u^{(1)}}{\partial y^2} \right) = f_1,$$

$$\frac{\partial v^{(1)}}{\partial t} + U \frac{\partial v^{(1)}}{\partial x} + \frac{1}{\rho} \frac{\partial p^{(1)}}{\partial x} + \nu \left( \frac{\partial^2 v^{(1)}}{\partial x^2} + \frac{\partial^2 v^{(1)}}{\partial y^2} \right) = f_2, \quad \frac{\partial u^{(1)}}{\partial x} + \frac{\partial v^{(1)}}{\partial y} = f_3,$$

где

$$(2.4) \quad f_1 = -\frac{\tilde{p}}{c^2 \rho} \frac{\partial \tilde{u}}{\partial t} - \tilde{u} \frac{\partial \tilde{u}}{\partial x} - \tilde{v} \frac{\partial \tilde{u}}{\partial y}; \quad f_2 = -\frac{\tilde{p}}{c^2 \rho} \frac{\partial \tilde{v}}{\partial t} - \tilde{v} \frac{\partial \tilde{v}}{\partial y} - \tilde{u} \frac{\partial \tilde{v}}{\partial x};$$

$$f_3 = \frac{(n-1)}{c^2 \rho} \left( \frac{\partial}{\partial t} + U \frac{\partial}{\partial x} \right) \tilde{p}^2 - \frac{1}{c^2 \rho} \left( \frac{\partial \tilde{p} \tilde{u}}{\partial x} + \frac{\partial \tilde{p} \tilde{v}}{\partial y} \right)$$

( $n \sim 1$  — нелинейный параметр среды [7]). Переменные  $\tilde{u}$ ,  $\tilde{v}$  и  $\tilde{p}$  в (2.4) представляют собой суперпозицию акустической волны (2.2) и поля обтекания волнистости; в соответствии с процедурой вывода (2.3) из  $f_i$  следует исключить члены, зависящие только от  $v_i$ ,  $p_i$ . Граничные условия при  $y = 0$  имеют вид  $v^{(1)} = -(\partial v^{(0)}/\partial y)\eta$ ,  $u^{(1)} = -(\partial u^{(0)}/\partial y)\eta$ .

Рассмотрим распределенное возбуждение ГШ-волны с частотой звука  $\omega$  (размер области возбуждения  $L_* \gg 1/\text{Re } \alpha$ ). Следуя модели квази-параллельного течения, будем всюду пренебрегать производными  $\partial_x$  по

х. Переходя от системы (2.3) к одному уравнению для  $v^{(1)}$ , представим его решение в виде

$$(2.5) \quad v^{(1)} = \frac{1}{2} a(x) \varphi(y_N) e^{i\theta - i\omega t} + \text{к. с.} + \delta v,$$

где  $\theta = \int \text{Re } \alpha dx$ ;  $a(x)$  — комплексная амплитуда волны (изменение  $a(x)$  мало при изменении  $\theta$  на  $2\pi$ );  $\delta v$  — добавка порядка  $(L_* \text{Re } \alpha)^{-1} \ll 1$ ;  $\alpha$  и  $\varphi$  — собственное значение и собственная функция краевой задачи

$$(2.6) \quad \left( \bar{u} - \frac{\omega_N}{\alpha_N} \right) (\varphi'' - \alpha_N^2 \varphi) - \bar{u}'' \varphi + \frac{i}{\alpha_N R} (\varphi^{IV} - 2\alpha_N^2 \varphi'' + \alpha_N^4 \varphi) = 0,$$

$$\varphi = \varphi' = 0|_{y_N=0}, \quad \varphi \rightarrow 0|_{y_N \rightarrow \infty},$$

где  $\alpha_N = \omega \delta_*$ ;  $\omega_N = \omega \delta_* / u_\infty$ . Производную  $da/dx$  ищем в виде

$$(2.7) \quad da/dx = \gamma a + F^{(1)},$$

где  $\gamma = -\text{Im } \alpha$  — инкремент пространственного усиления волны;  $F^{(1)}$  — неизвестная функция, которая находится из условия ограниченности  $\delta v$ . Используя стандартные процедуры [8], получим

$$(2.8) \quad F^{(1)} = \frac{1}{2\pi} s \sigma \int_{-\infty}^{\infty} dk \hat{\eta}(k) e^{i(k+k_\omega)x - i\theta},$$

где  $\sigma = \sigma_N / \delta_*^2$ ;  $\sigma_N = \sigma_S + \sigma_V$ ;  $\sigma_V = \frac{1}{q} \int_0^\infty Q \chi dy_N$ ;  $\sigma_S = \frac{i\alpha_N \beta_N}{qR} \chi''(0)$ ;

$$(2.9) \quad Q = \alpha_N^2 \bar{u}'_0 \left[ (1 - \varepsilon^{\beta_N y_N}) (\bar{\psi}'' - \bar{k}_N^2 \bar{\psi}) - i\omega_N R \bar{\psi} e^{\beta_N y_N} \right],$$

$$q = \int_0^\infty \left[ \left( \bar{u} - \frac{4i\alpha_N}{R} \right) \varphi'' + \left( 2\omega_N \alpha_N - 3\alpha_N^2 \bar{u} - \bar{u}'' + \frac{4i\alpha_N^3}{R} \right) \varphi \right] \chi dy_N.$$

Здесь  $\hat{\eta}_N = (i-1) \sqrt{\omega_N R/2}$ ;  $\chi(y_N)$  — собственная функция сопряженной с (2.6) краевой задачи [9];  $\bar{\psi}$  — решение (2.4) для резонансной компоненты спектра неоднородности  $\bar{k} = \text{Re } \alpha - k_\omega$  ( $\bar{k}_N = \bar{k} \delta_*$ )\*. При вычислении коэффициента рассеяния  $\sigma$  число Маха  $M = u_\infty / c$  считалось достаточно малым и отбрасывались величины  $O(M)$ . Слагаемые  $\sigma_V$  и  $\sigma_S$  описывают объемное и поверхностное рассеяния соответственно. Следует отметить, что в рассматриваемом приближении  $\sigma$  зависит только от продольной составляющей скорости в акустическом поле и не зависит от направления распространения звука.

Задача о возбуждении ТП-волн вихревыми возмущениями также сводится к уравнениям (2.3). Рассмотрим рассеяние слабых вихревых возмущений, дрейфующих в области однородного течения ( $y > 3$ ). Их функцию тока представим в виде

$$(2.10) \quad \bar{\psi} = \begin{cases} \frac{1}{2} s \Phi(y) e^{i k_\omega x - i \omega t} + \text{к. с.}, & y > 3, \\ 0, & 0 \leq y \leq 3, \end{cases}$$

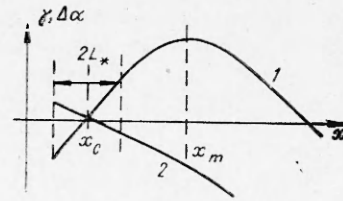
где  $k_\omega = \omega / u_\infty$ ;  $\Phi$  и  $s$  — профиль и амплитуда вихревой волны соответственно. Пренебрегая вязкой диффузией вихря на длинах  $2L_*$ , профиль  $\Phi$  можно задавать произвольно. Рассеяние возмущений (2.10) на поверхности отсутствует ( $\sigma_S = 0$ ), а объемное рассеяние определяется коэффициентом  $\sigma_V$ , при вычислении которого в (2.9) следует положить

$$Q = \bar{k}_N \bar{u}'_0 \left\{ \omega_N \left[ \bar{\psi}' (\Phi'' - \omega_N^2 \Phi) - \Phi \frac{\partial}{\partial y_N} (\bar{\psi}'' - \bar{k}_N^2 \bar{\psi}) \right] - \bar{k}_N \left[ \bar{\psi} \frac{\partial}{\partial y_N} (\Phi'' - \omega_N^2 \Phi) - \Phi' (\bar{\psi}'' - \bar{k}_N^2 \bar{\psi}) \right] \right\}.$$

\* Резонансу соответствует точка стационарной фазы экспоненциального множителя в (2.8).

Поскольку в области  $y > 3$  поле скорости обтекания близко к потенциальному, рассеяние определяется завихренностью возмущений (2.10).

3. Рассмотрим на основе уравнений (2.7), (2.8) процесс возбуждения ТШ-волн при рассеянии на неоднородности. Зависимость инкремента ТШ-волны  $\gamma$  (кривая 1) и приращения волнового числа  $\Delta\alpha = \text{Re } \alpha - \alpha_c$  (кривая 2) от  $x$  схематически показана на фиг. 1. Решая (2.7) с граничным условием  $a(x_0) = 0$  ( $x_0$  выбирается в области затухания достаточно далеко от нейтральной точки  $x_c$ ), получим



Ф и г. 1

$$(3.1) \quad a = a_{\text{эфф}}(x) K(x) \left( K = \exp \left[ \int_{x_c}^x \gamma dx \right] \right),$$

$$a_{\text{эфф}} = \int_{x_0}^x F^{(1)}(1/K) dx.$$

Здесь  $K(x)$  — коэффициент усиления пограничного слоя, множитель  $a_{\text{эфф}}$  представляет собой эффективную (приведенную к нейтральной точке) амплитуду индуцированной волны. Функция  $1/K$ , стоящая под интегралом в (3.1), имеет максимум при  $x = x_c$ , что формально подтверждает качественные соображения о формировании индуцированного поля, приведенные в п. 1.

Рассмотрим рассеяние на синусоидальной волнистости  $\eta = \sin k_g x$ . В этом случае формула (2.8) верна в достаточно малой окрестности той точки, где выполнены условия резонанса. Учитывая преобладание вклада области, прилегающей к нейтральной точке, ограничимся случаем малых отклонений от резонанса в этой точке ( $|\Delta k| \ll \alpha_c$ ,  $\Delta k = k_g - k_\omega - \alpha_c$ ). Воспользуемся вблизи от  $x = x_c$  линейной аппроксимацией  $\gamma = \mu_r(x - x_c)$ ,  $\Delta\alpha = \mu_i(x - x_c)$ , где введено  $\mu = \mu_r + \mu_i i = i(\partial\alpha/\partial x_c)$ . Пренебрегая изменением  $\sigma$  в области возбуждения волны и используя (3.1), (2.8), получим

$$(3.2) \quad a_{\text{эфф}} = \frac{1}{2i} \sigma_c d \int_{-\infty}^{\infty} e^{-\frac{\mu \xi^2}{2} + i \Delta k \xi} d\xi = -i \left( \frac{\pi}{2\mu} \right)^{1/2} \sigma_c d \exp \left[ -\frac{(\Delta k)^2}{2\mu} \right],$$

где  $\sigma_c = \sigma|_{x=x_c}$ ;  $\xi = x - x_c$ . Поскольку при  $x - x_c > \bar{L}_*$ ,  $x_c - x_0 > L_*$  интеграл слабо зависит от  $x$  и  $x_0$ , пределы интегрирования в (3.1) расширены до бесконечности. Формула (3.2) показывает, что индуцированное поле максимально при выполнении условий резонанса в нейтральной точке ( $\Delta k = 0$ ). Размер области генерации, определенный из условия, что  $a_{\text{эфф}}$  составляет 0,84 от предельного значения (3.2), равен  $\bar{L}_* = (2/|\mu|)^{1/2}$ . Присутствие  $\mu_i$  в  $\bar{L}_*$  отражает тот факт, что длина области генерации уменьшается вследствие выхода волн из резонанса. Решение (3.2) получено для малых отношений  $L_*/(x_m - x_c)$ . Используя оценки  $\mu_r \sim \gamma(x_m)/(x_m - x_c)$ ,  $\mu_i \sim \Delta\alpha(x_m)/(x_m - x_c)$ , можно видеть, что это отношение тем меньше, чем больше усиление волны и набег фазы в активной области пограничного слоя. На частотах, представляющих практический интерес, это отношение не очень мало. Например, при  $\omega_N|_{x=x_c} = 0,038$  получим  $L_*/(x_m - x_c) \approx 0,35$ . Можно показать, что линейная аппроксимация  $\gamma$  и  $\Delta\alpha$  является хорошим приближением вплоть до  $\bar{L}_* \sim 0,5(x_m - x_c)$ . Если при переходе к (3.2) принять  $\sigma = \sigma_c + \sigma'_x(x - x_c)$ , член  $\sim \sigma'_x$  при  $\Delta k = 0$  не даст вклада в  $a_{\text{эфф}}$ . Поскольку характерным масштабом изменения  $\sigma$  является  $x_m - x_c$ , последнее означает, что точность формулы (3.2) характеризуется квадратом отношения  $L_*/(x_m - x_c)$ .

Рассмотрим кратко рассеяние на хаотической одномерной неоднородности, которая описывается пространственно-однородной случайной функцией  $\eta(x)$  (среднее по ансамблю  $\langle \eta \rangle = 0$ ). Используя (2.8), (3.1), в приближении узкой области генерации получим

$$\langle |a|^2 \rangle^{1/2} = K(x) A_{\text{эфф}},$$

где  $A_{\text{эфф}}^2 = \frac{2\pi}{|\mu|} |\sigma_c|^2 s^2 \int_{-\infty}^{\infty} dx G(x + \alpha_c - k_\omega) \exp\left(-\frac{\mu_r x^2}{|\mu|^2}\right) (G(k) - \text{спектральная}$

плотность  $\langle \eta^2 \rangle$ ). Если  $G$  мало меняется на масштабе  $|\mu|/\sqrt{\mu_r}$  в окрестности резонанса, выражение для  $A_{\text{эфф}}$  принимает вид

$$A_{\text{эфф}}^2 = \frac{2\pi^{3/2}}{\mu_r^{1/2}} s^2 |\sigma_c|^2 G(\alpha_c - k_\omega).$$

Величина  $A_{\text{эфф}}$  не зависит от  $\mu_i$ , что согласуется с известным в теории волн результатом о независимости случайного взаимодействия от фазовых соотношений. По этой же причине размер области возбуждения в данном случае полностью определяется поведением инкремента:  $L_* \approx (1/\mu_r)^{1/2}$ . Интенсивность индуцированной волны пропорциональна спектральной мощности  $\langle \eta^2 \rangle$ . При фиксированном  $\langle \eta^2 \rangle$  наибольший эффект достигается при рассеянии на волнистой поверхности с характерным масштабом неоднородности порядка  $1/\text{Re } \alpha$ .

В рамках данной выше процедуры вывода (2.7), (2.8) можно учесть слабую непараллельность течения, если сохранить производную  $\delta_*$  по  $x$  и малую поперечную компоненту скорости потока. Основываясь на результатах работы [8], можно показать, что непараллельность течения дает в (2.7) малую (порядка  $1/R$ ) комплексную добавку к инкременту  $\gamma$  квазипараллельной теории. При этом  $F^{(1)}$  практически не изменится, так как профиль  $\varphi$  и поле обтекания волнистости с точностью до поправок  $\sim 1/R$  удовлетворяют уравнениям квазипараллельной теории. Добавка к  $\gamma$  зависит от нормировки профиля  $\varphi$ . В дальнейшем при вычислении  $\sigma_N$  воспользуемся нормировкой  $\max |(1/\alpha_N)\varphi'| = 1$ , которая определяет  $|a|$  как максимальную амплитуду пульсаций продольной скорости на профиле ТШ-волны. Добавка к  $\gamma$  слабо смещает нейтральную точку и в узкой области возбуждения волны приводит к малым изменениям коэффициента усиления  $K$  квазипараллельной теории. В результате малыми будут изменения амплитуды  $a_{\text{эфф}}$ , которую теперь следует рассматривать как эффективную амплитуду, приведенную к нейтральной точке непараллельного течения. При этом нейтральной является та точка, в которой начинается рост максимальной амплитуды продольной скорости. Известно, что нейтральная кривая в пограничном слое на поверхности с малой волнистостью смещена относительно своего положения в случае гладкой пластины [10]. Этот эффект можно описать в (2.7), если учесть двукратное рассеяние ТШ-волны на неоднородности. Ввиду малости соответствующей добавки к  $\gamma$  изменение  $a_{\text{эфф}}$  также будет малым.

Обсудим кратко вопрос о границах применимости приближения однократного рассеяния. Поскольку прилипание на поверхности приводит к образованию вблизи нее тонких вязких областей, ограничение на высоту волнистости оказывается значительно сильнее, чем просто условие малости по сравнению с толщиной вытеснения. Необходимо потребовать, чтобы вертикальный масштаб поля скорости вблизи поверхности  $H$  был больше высоты волнистости  $h = \max |\eta|$ . В акустическом поле и в ТШ-волне вблизи поверхности возникают вязкие области, масштабы которых одинаковы и равны  $l_w \ll \delta_*$  [6, 11]. Отсюда следует ограничение на высоту волнистости вида  $h/l_w \ll 1$ . В случае неоднородностей с характерной длиной  $l \leq h$  нельзя ограничиться линейным членом в разложении поля обтекания по  $\eta$ , так как  $H \leq h$ . В случае плавных неоднородностей ( $h \ll l \leq 1/\text{Re } \alpha$ ), сравнивая вязкие и невязкие члены уравнения (2.1),

можно ввести поперечный масштаб поля обтекания  $l_1 = [lv/(\partial U/\partial y)_0]^{1/3}$  \*. Можно показать, что  $H \sim l_1$  при  $h \leq l_1 \leq l$  и  $H \sim l$ , если  $l_1 \geq l$  \*\*. Таким образом, ограничение на высоту неоднородности, связанное с ее обтеканием, принимает вид  $h/l_1 \ll 1$ .

4. Для вычисления  $a_{\text{эфф}}$  необходимо найти  $\bar{\mu}$  и построить функции  $\bar{\psi}$ ,  $\bar{\phi}$ ,  $\bar{\chi}$ . Обозначим «текущие» частоту и волновое число волны пограничного слоя соответственно через  $\Omega_N = \Omega \delta_* / u_\infty$  и  $K_N = k \delta_*$ . Линеаризуя дисперсионное уравнение квазипараллельной теории  $\Omega_N = \Omega_N(K_N, R)$  в окрестности нейтральной точки и учитывая соотношение  $R - R_c \approx (3/2)\xi/\delta_c$ , можно получить

$$\bar{\mu} = \delta_{c\bar{\mu}}^2 \approx \frac{3}{2} \frac{i}{R_c} \left[ \frac{\Omega_N - (\partial \Omega_N / \partial R) R}{(\partial \Omega_N / \partial K_N)} - K_N \right]_c,$$

где индекс  $c$  означает, что выражение берется в нейтральной точке;  $\delta_c = \delta_*(x_c)$ .

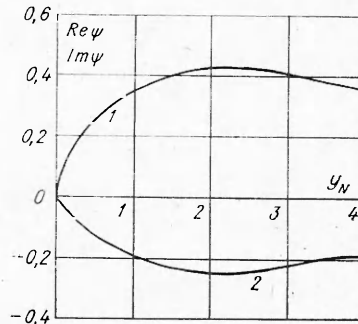
Функция  $\bar{\psi}$  строится в виде суммы «вязкого» и «невязкого» решений (см. аналогично [6]). «Вязкое» решение имеет характерный масштаб  $l_{1N} = (\bar{u}_0' \bar{k}_N R)^{-1/3}$  и локализовано вблизи поверхности  $y_N = 0$ , а невязкое — находится в приближении идеальной среды ( $R = \infty$ ). На фиг. 2 приведены результаты расчета  $\bar{\psi}$  в точке  $\bar{k}_N = 0,134$ ,  $R = 1620$  (кривые 1 и 2 для  $\text{Re } \bar{\psi}$  и  $\text{Im } \bar{\psi}$  соответственно).

Уравнения для  $\bar{\phi}$  и  $\bar{\chi}$  решались методом Рунге — Кутты с использованием процедуры ортогонализации. Искалась эффективная амплитуда ТШ-волны, индуцированной на поверхности с синусоидальной волнистостью при точном резонансе в нейтральной точке  $R_c = 1620$ , где  $\alpha_N = 0,134$ ,  $\omega_N = 0,038$ ,  $\bar{\mu} = (2,9 - 1,46i) \cdot 10^{-5}$ . Для рассеяния звука вычисления дают  $\sigma_s = 0,32 + 0,1i$ ,  $\sigma_v = 0,1 - 0,16i$ . Для оценки эффективности вихревого рассеяния профиль возмущений задавался в виде

$$\Phi = \frac{b_1}{\sqrt{2}} \exp \left[ -\frac{(y_N - b_0)^2}{b_1^2} + \frac{1}{2} \right].$$

При этом  $s$  в формуле (2.10) — амплитуда максимальных пульсаций продольной скорости, а профиль продольной скорости  $|\Phi'|$  качественно согласуется с реализованным в работе [1]. При  $b_0 = 5$ ,  $b_1 = 1$  для резонансной волнистости с волновым числом  $\bar{k}_N = 0,1$  коэффициент рассеяния равен  $\sigma_N = (4,86 + 0,32i) \cdot 10^{-5}$ .

Воздействие индуцированной волны на переход к турбулентному течению зависит от ее амплитуды, коэффициента усиления и от шумового фона, вызывающего переход в отсутствие индуцированной волны. По данным [13] максимальное усиление при  $R_c = 1620$  равно  $e^{10}$ . Будем считать шумовой фон таким, что в точке «естественного» перехода коэффициент усиления достигает  $e^6$ . Для смещения точки перехода необходимо, чтобы индуцированное поле при  $K = e^6$  достигло уровня сильной нелинейности  $u_{tr}$ . В соответствии с измерениями [14] примем  $u_{tr} = 0,02u_\infty$ . Для возбуждения такой волны при рассеянии на волнистости с параметрами  $d/\delta_c = 0,5$ ,  $l_w/\delta_c = 0,09$ ,  $k_g \delta_c = 0,134$  необходим звук с амплитудой  $s = 0,5 \cdot 10^{-5}$ . Вихревая волна должна иметь амплитуду  $s = 0,05$  при  $k_g \delta_c = 0,1$ . В част-



Ф и г. 2

\* Для неоднородностей с  $l = 1/\text{Re } \alpha$  масштаб  $l_1 \ll \delta_*$  и совпадает с масштабом вязкого критического слоя ТШ-волны [6].

\*\* При  $l_1 \leq h$  величина  $H$  оценивается по известной формуле для толщины пограничного слоя [12]:  $H \sim l/\sqrt{R_l}$  ( $R_l = hl(\partial U/\partial y)_0/\nu$  — число Рейнольдса неоднородности).

ности, если на пластину набегаёт поток воздуха со скоростью  $u_\infty = 25$  м/с, для возбуждения волны с частотой 156 Гц при рассеянии на волнистости с  $d = 0,09$  мм и периодом 4,55 см требуется звук силой 41 дБ. В случае вихревых возмущений резонансная волнистость имеет период 6,35 см.

Таким образом, рассеяние акустических и вихревых возмущений в пограничном слое на волнистой поверхности может приводить к распределённому возбуждению волн Толлмина — Шлихтинга. Расчет показывает, что даже при весьма слабой волнистости, высота которой удовлетворяет условиям однократного рассеяния, можно достигнуть интенсивности индуцированной волны, достаточной для смещения точки перехода к турбулентности. При рассеянии на синусоидальной волнистости наиболее эффективно генерируются те волны, для которых выполнены условия резонанса в нейтральной точке (при фиксированном периоде волнистости условиям резонанса можно удовлетворить, варьируя частоту внешних возмущений). Рассеяние на хаотической волнистости определяется резонансными гармониками ее спектра.

Поступила 12 V 1982

#### ЛИТЕРАТУРА

1. Левченко В. Я., Козлов В. В. Возникновение и развитие возмущений в пограничном слое. — В кн.: Модели в механике сплошной среды. Новосибирск: изд. ИТПМ СО АН СССР, 1979.
2. Поляков Н. Ф. Ламинарный пограничный слой в условиях «естественного» перехода к турбулентному течению. — В кн.: Развитие возмущений в пограничном слое. Новосибирск: изд. ИТПМ СО АН СССР, 1979.
3. Качанов Ю. С., Козлов В. В., Левченко В. Я. Генерация и развитие возмущений малой амплитуды в ламинарном пограничном слое при наличии акустического поля. — Изв. СО АН СССР, 1975, № 13. Сер. техн. наук, вып. 3.
4. Качанов Ю. С., Левченко В. Я. и др. Преобразование внешних возмущений в волны пограничного слоя. — ЧММСС, 1978, т. 9, № 2.
5. Рытов С. М., Кравцов Ю. А., Татарский В. И. Введение в статистическую радиофизику. Ч. 2. М.: Наука, 1978.
6. Бетчов Р., Криминале В. Вопросы гидродинамической устойчивости. М.: Мир, 1971.
7. Зарембо Л. К., Красильников В. А. Введение в нелинейную акустику. М.: Наука, 1966.
8. Saric W. S., Nayfeh A. H. Nonparallel stability of boundary layer flows. — Phys. Fluids, 1975, vol. 18, N 8.
9. Craik A. D. D. Nonlinear resonant instability in boundary layers. — J. Fluid Mech., 1971, vol. 50, N 2.
10. Качанов Ю. С., Козлов В. В., Левченко В. Я. Экспериментальное исследование устойчивости пограничного слоя на волнистой поверхности. — Изв. СО АН СССР, 1975, № 13. Сер. техн. наук, вып. 3.
11. Блохинцев Д. И. Акустика неоднородной движущейся среды. М.: Наука, 1981.
12. Шлихтинг Г. Теория пограничного слоя. М.: Наука, 1974.
13. Jaffe N. A., Okamura T. T., Smith A. M. O. Determination of spatial amplification factors and their application to predicting transition. — AIAA J., 1970, vol. 8, N 2.
14. Klebanoff P. S., Tidstrom K. D., Sargent L. H. The three-dimensional nature of boundary layer instability. — J. Fluid Mech., 1962, vol. 12, pt 1.

УДК 532.593 : 532.529

#### РАСПРОСТРАНЕНИЕ ВОЗМУЩЕНИЙ В ЖИДКОСТИ С ПУЗЫРЬКАМИ ПАРА

В. Г. Гасенко, В. Е. Накоряков, Э. М. Оренбах, И. Р. Шрейбер

(Новосибирск)

В данной работе на основе модельного уравнения для распространения волн в жидкости с пузырьками пара проведено исследование структуры и динамики волн в парожидкостной среде. Результаты расчетов сравнены с экспериментальными профилями давления.

1. В [1] предложена двухтемпературная модель распространения возмущений в жидкости, находящейся вблизи линии насыщения и содер-